



AI 8301

Red de venas de alteración (tipo caliche) en zonas apicales del granito biotítico con megacristales de feldespato. (KM. 14 de la carretera Los Navalmorales-Alcaudete de la Jara).



AI 8302

Aspecto mesoscópico del granito biotítico con megacristales de feldes-pato potásico. Junto a la Casa del Pilón del Río Sangrera. (Km. 14,800 de la carretera Los Navalmorales-Alcaudete de la Jara.



AI 8303

Detalle de la foto anterior. Los megacristales de feldespato potásico tienen forma tabular y fuerte tendencia automórfica, marcando una estructura o fábrica planar en el afloramiento.



AI 8304

Diferentes formas y tamaños de enclaves microgranudos en el granito biotítico-moscovítico con megacristales de feldespato potásico, cordierita, andalucita y granate. (Cementerio de Santa Ana de Pusa).



AI **8305**

Detalle de la foto anterior. Algunos puntos negros y el mineral del centro (2-3 cm de largo) son cristales prismáticos de cordierita, casi siempre pinnitizados.



AI 8306

Enclave ("Restita") de metasedimento calcosilicatado en el granito de la foto anterior. (La estructura interna cambia de orientación de un enclave a otro).



AI 8307

Afloramiento en "bolo" de granito biotítico (Monzogranito), con megacristales de feldespato potásico y enclaves subredondeados de granodiorita microgranulara. (Arroyo de La Parrilla. Al SO de San Martín de Pusa).

A large, irregularly shaped boulder of biotite granite is shown. The rock has a mottled grey and brown color with darker, mica-rich veins. A hammer is placed on the rock to provide a sense of scale, showing that the boulder is several times larger than the hammer.

AI 8308

Granito biotítico de grano grueso, con megacristales de feldespato potásico y enclaves centi-decimétricos de granodiorita/tonalita microgranular (Finca "Las Cumbres" Al SO de Villarejo de Montalbán).



AI 8309

Detalle de la foto anterior. Megacristales de feldespato potásico insertos en una mesostasis heterogranular.



AI 8310

Enclaves de "ferromagnesianos", con formas subredondeadas y angulosas, en el Granito biotítico anterior.



AI 0311

Estructura o fábrica planar del Granito biotítico-moscovítico marcada por los megacristales de feldespato potásico y superposición de una foliación deformativa. (Granito biotítico-moscovítico al SO de Villarejo de Montalbán).



AI 8312

Detalle de la foto anterior. La disposición de los minerales determina una serie de discontinuidades penetrativas a la es cala de afloramiento.



AI 8313

Disociación de la tonalita en enclaves (colores fémicos),  
dentro del granito biotítico-moscovítico de Villarejo de  
Montalbán (colores félsicos).



AI 8314

Enclaves tonalíticos, parcialmente deshilachados, en el granito biotítico-moscovítico de Villarejo de Montalbán. (Proba**blemente**, la viscosidad de la tonalita con relación al granito era inicialmente diferente)



AI 8315

Dique de pórfido granítico con cordierita y granate.  
(Cortijo delas Pistolas. Km. 65,5 de la carretera Na  
vahermosa-Los Navalmorales).



AI 8316

Detalle del dique anterior.  
Los puntos negros son cris-  
tales de cordierita, grana-  
te y clorita.



AI 8317

Aspecto mesoscópico de un dique de pórfido granítico intruyendo entre las calizas y areniscas de Los Navalucillos. (Km 62,800 de la carretera Navahermosa-Los Navalmorales).



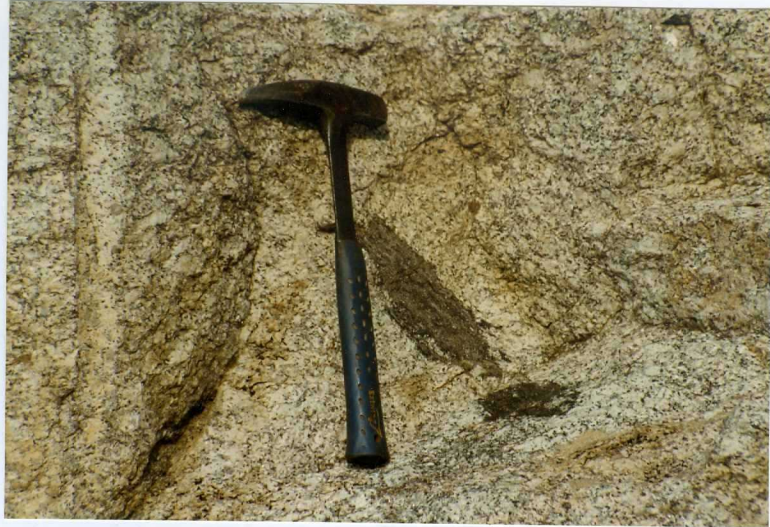
AI 8318

Detalle de la foto anterior. El diaclasado del dique favorece la alteración zonada en "bolos".



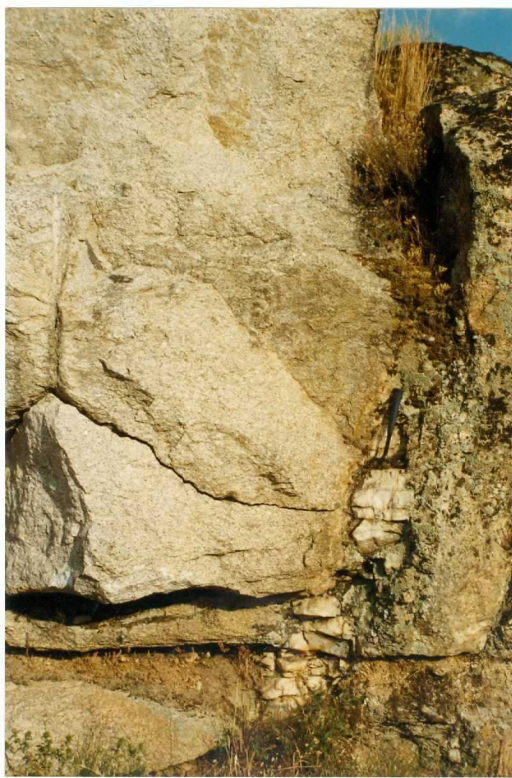
AI 8319

Granito biotítico-moscovítico de Villarejo de Montalbán con abundantes mega-fenocristales de feldespato potásico (Km. 21 de la carretera Villarejo-San Martín de Montalbán. Puente sobre el río Cedena).



AI 8320

Septas sedimentarias ("Restitas") en el Granito de la foto anterior. (La estructura interna cambia de orientación de un enclave a otro, marcando rotaciones diferentes de estos elementos en el magma granítico).



AI 8321

Venas lentejonares de cuarzo  
fracturado en el Granito bio-  
títico-moscovítico de Villa-  
rejo de Montalbán. (Aflora-  
miento de la foto anterior).



AI 8322

"Montera" de cuarzo pegmatita pertítica en la Cantera de Feldespato de Villarejo de Montalbán (Km 19,200 de la carrera San Martín de Montalbán-Villarejo de Montalbán).



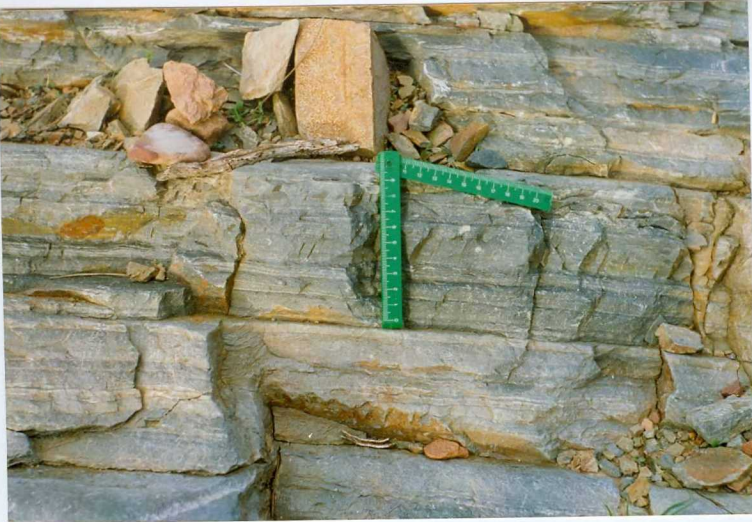
AI 8323

Cantera de la foto anterior, con tonalitas (colores grises oscuros) y pegmatitas (colores claros). Las dos rocas se en cuentran en intima asociación, formando masas lenticulares una dentro de la otra. Las pegmatitas forman cuerpos de reemplazamiento con márgenes indefinidos.



DM 0196

Panorámica de Areniscas de Los Navalucillos (1) y Pizarras de Pusa (2) del Cámbrico Inferior. Al fondo sedimentos rañoides recientes (3)



DM 8197

Detalle de pizarras laminadas del Pusa. Cámbrico Inferior



DM 0198

Detalle de pizarras del Pusa con esquistosidad  $S_2$  en el plano de la regleta



DM 8199

3

Repliegues de Fase 2 en pizarras del Pusa en las proximidades de La Fresneda (500 m al N)

DM 8200

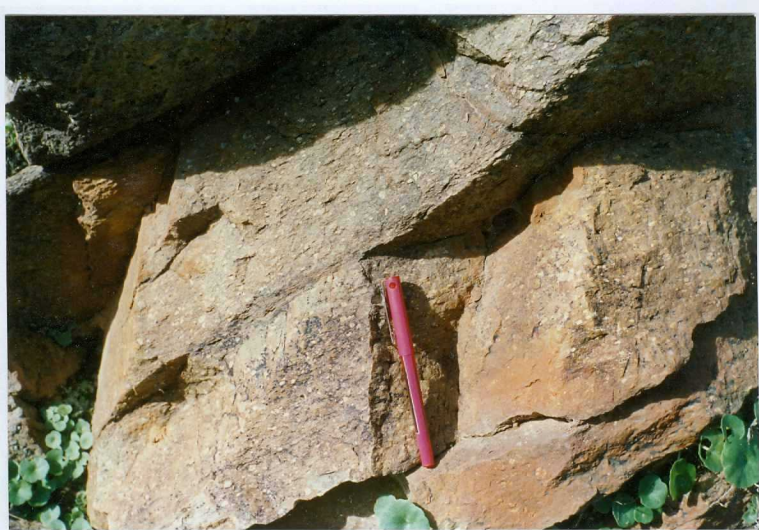
Pliques de Fase 2 en la misma zona que la foto anterior



DM 8201

Detalle de S2 y S3 al S de La Fresnedilla en las pizarras de Pusa.  
Cámbrico Inferior





DM 8202

Detalle de conglomerados dentro de las facies de Pusa

DM **8203**

Detalle de Kinds-Bands al S de La Fresneda





DM 8204

Detalle de corte con planos So con Kinds-Bands en la foto anterior



DM 8205

Vista parcial de niveles conglomeráticos intercalados en las Pizarras de Pusa al NO de Torrecilla de la Jara



DM 8206

Detalle de So y S2 en los conglom  
merados de la foto anterior



DM 8207

Vista parcial de tramos pizarrosos y cuarcíticos de la base de la forma  
ción Areniscas de Los Navalucillos, al O de dicha localidad



DM 8208

Detalle de estratificación cruzada en nivell cuarzoareniscoso de las Areniscas de Los Navalucillos



DM 8209

Detalle de paquetes arenosos de Areniscas de los Navalucillos. Cámbrico Inferior

DM 8210

Detalle de pliegue menor de Fase 1 en niveles cuarzo - arenosos al O de los Navalucillos (Areniscas de Los Navalucillos)





DM 8211

Panorámica desde las proximidades de La Fresneda:

- (1) Pizarras del Pusa
- (2) Calizas de Los Navalucillos
- (3) Sedimentos recientes tipo raña

*Numeración foto*



DM 8212

Vista parcial de calizas de los Navalucillos al N de La Fresneda



DM 8213

Cantera de calizas de los Navalucillos junto a la c.c. 401 al SE de Los Navalmorales.



DM 8214

Vista parcial de calizas de los Navalucillos al N del Cortijo de  
Las Pistolas



DM 8215

Panorámica del contacto entre las calizas de Los Navalucillos (1)  
y la serie alternante superior (2) en la ctra 401

*falso, N°5*



DM 8216

Detalle de alternancia de pizarras, y cuarzoarenitas del Cámbrico Inferior de la foto anterior.



DM 8217

Detalle de niveles conglomeráticos de la base de la formación Púrpura del Ordovícico Inferior en el Cortijo de Las Pistolas.



DM 8218

Detalle de cantos deformados en niveles de la foto anterior

DM 8219

Panorámica de la base de las Facies Púrpura, en primer plano, con relieves de la Cuarcita Armoricana , al fondo.





DM 8220

Vista parcial de estratos cuarcíticos de la Cuarcita Armoricana al SE del  
Cortijo de Las Pistolas



DM 8221

Vista parcial de niveles cuarcíticos y pizarrosos con metamorfismo de contacto, de las facies púrpuras al NE de Retamoso



DM 8222

Detalle de la foto anterior



DM 0223

Panorámica de relieves paleozoicos desde las cuarcitas al SE del Cortijo de Las Pistolas

1. Calizas de Los Navalucillos. Cámbrico Inferior
2. Pizarras y areniscas. Cámbrico Inferior
3. Facies Púrpura. Ordovícico Inferior
4. Cuarcita armoricana. Ordovícico Inferior
5. Alternancia Pochico. Ordovícico Inf.
6. Rañas



DM 8224

Panorámica de relieves cuarcíticos en los resaltes del SE del Cortijo de Las Pistolas



DM 8225

Detalle de CRUCIANAS en el Cerro de las Colmenillas, al E de Los Navalucillos



DM 8226

Panorámica de relieves paleozoicos entre los Navalmorales, a la izquierda, y Los Navalucillos, a la derecha.  
Entre ellos sedimentos recientes rañoides